

FIG. 1
PRIOR ART

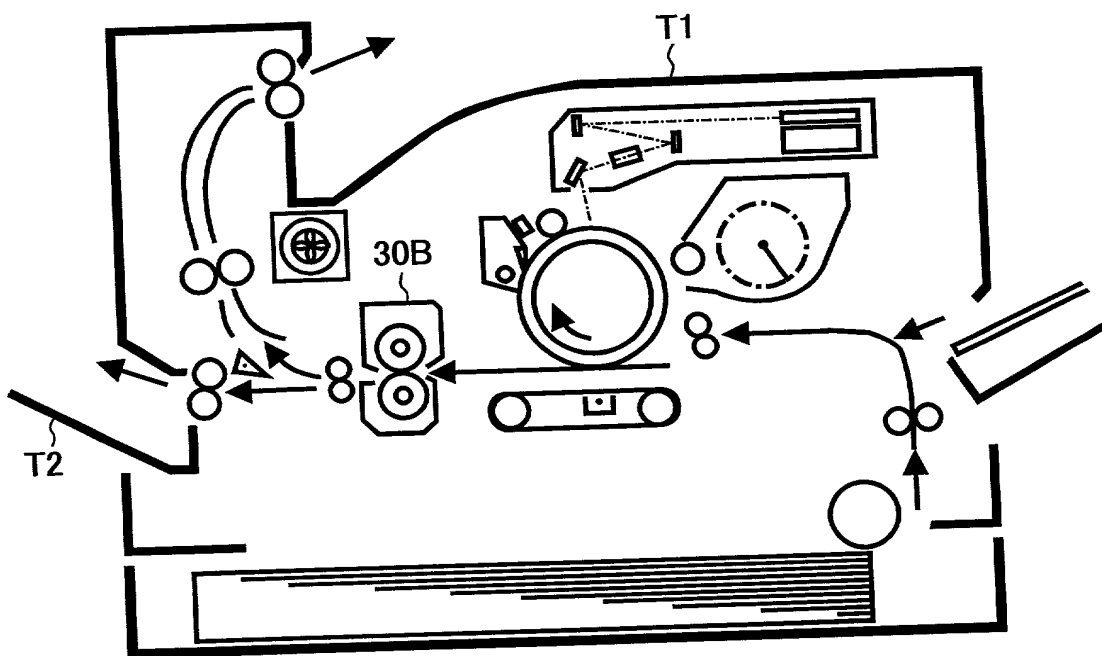
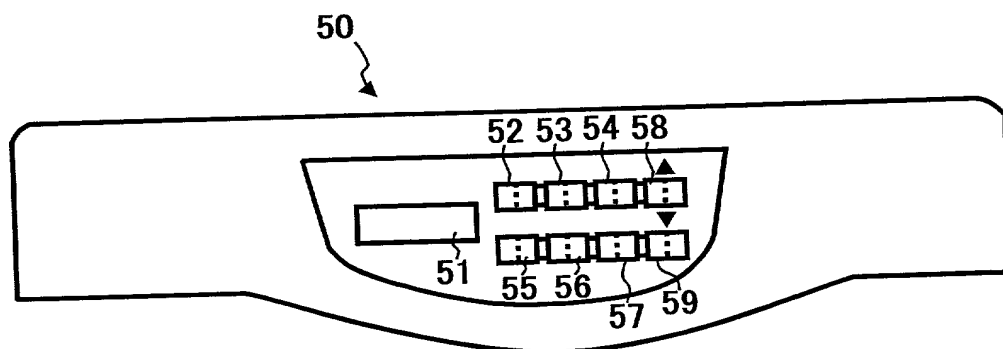
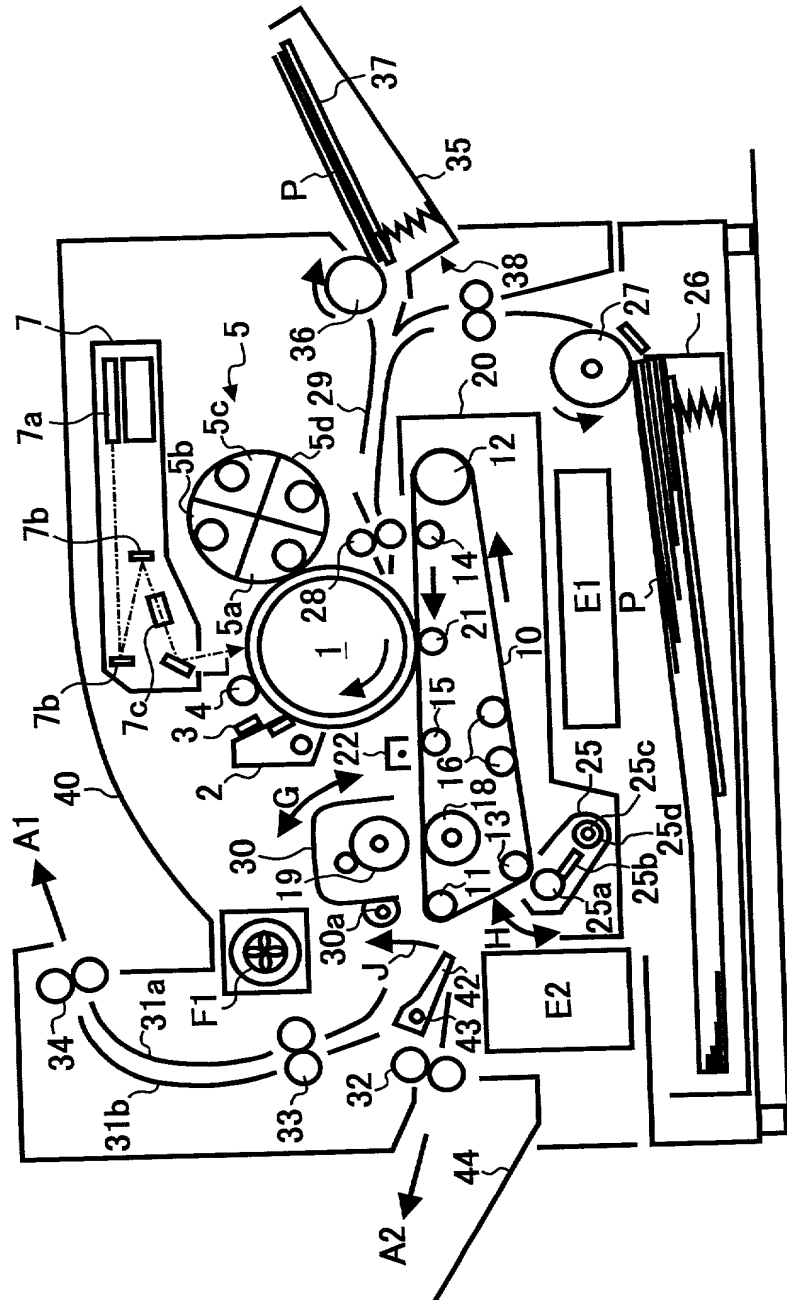


FIG. 3



100B



OBLON, SPIVAK, ET AL
DOCKET #:211790US-3
INV: Hideaki MOCHIMARU, et al.
SHEET 5 OF 11

FIG. 6

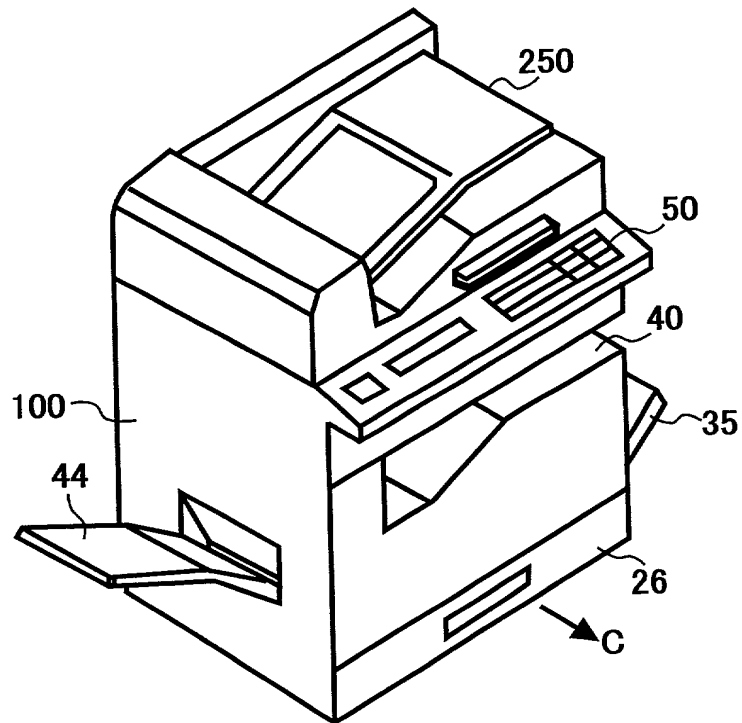


FIG. 7

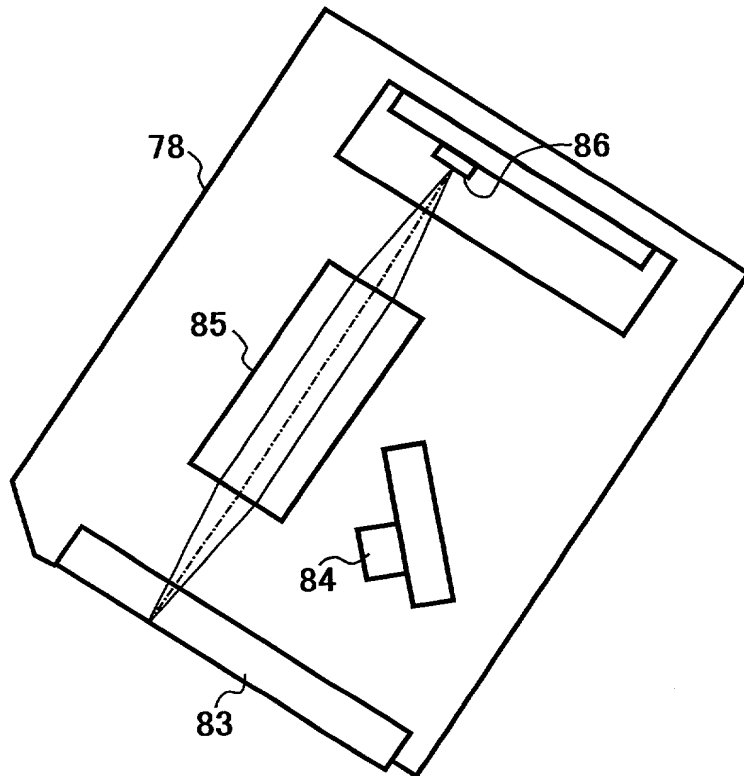


FIG. 8

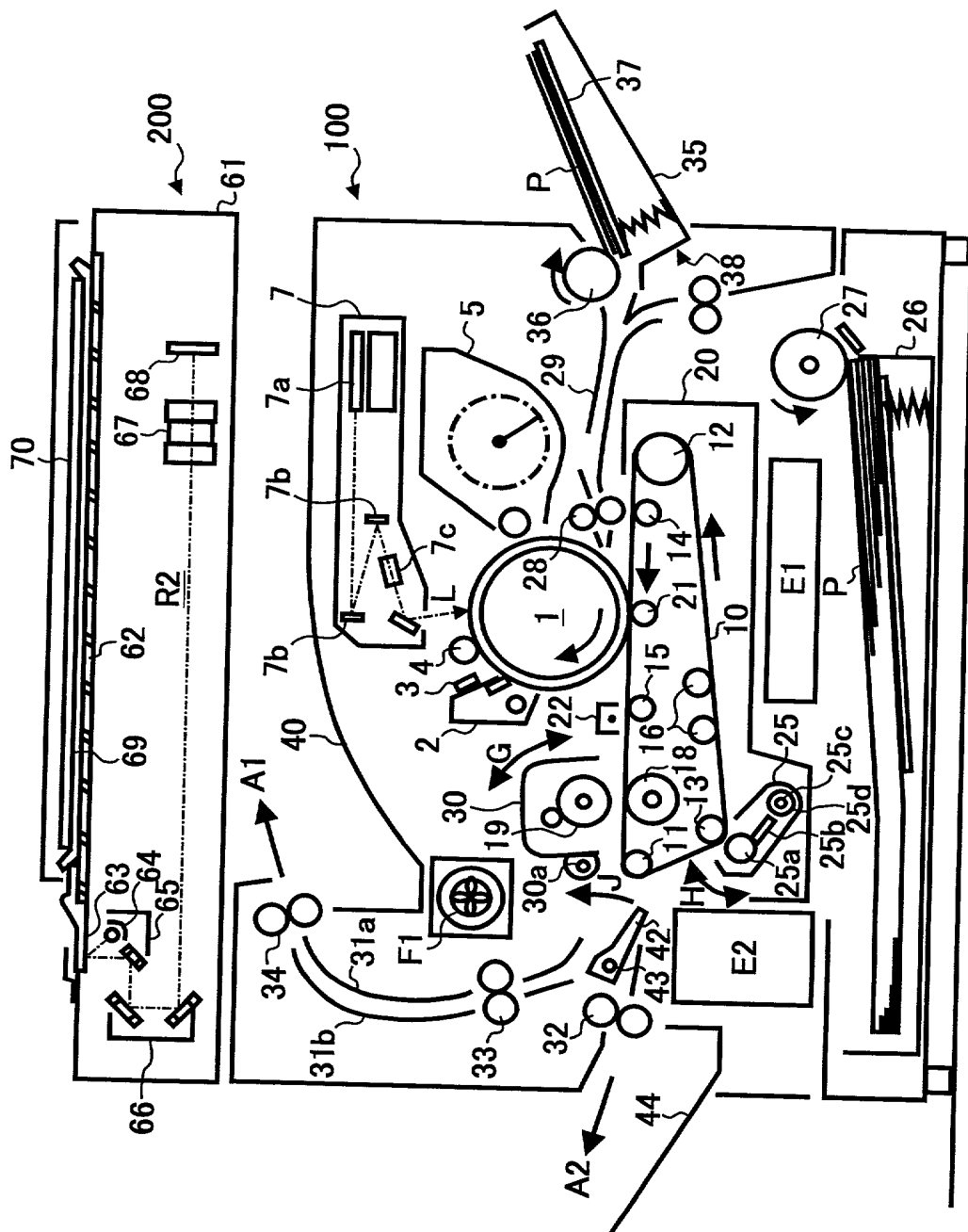


FIG. 9

READING MANNER	a				b				c				d			
	I) R1 S-S 1,2,3,4, II) III)				I) R1 D-S 2,1,(4),3 II) III)				I) R2 S-S 1,2,3,4, II) III)				I) R2 D-S 1,2,3,(4) II) III)			
A	IV) V)	40	S-S	VI) VII)	1,2,3,4 2	VI) VII)	1,2,3 2	VI) VII)	1,2,3,4 2	VI) VII)	1,2,3,4 2	VI) VII)	1,2,3 2	VI) VII)	1,2,3 2	VI) VII)
B	IV) V)	40	D-S	VI) VII)	2,1,4,3 1,2,3	VI) VII)	2,1,3 1,2,3&2	VI) VII)	2,1,4,3 1,2,3	VI) VII)	2,1,4,3 1,2,3	VI) VII)	2,1,3 1,2,3&2	VI) VII)	2,1,3 1,2,3&2	VI) VII)
C	IV) V)	44	S-S	VI) VII)	1,2,3,4 1,3	VI) VII)	1,2,3 1,3	VI) VII)	1,2,3,4 1,3	VI) VII)	1,2,3,4 1,3	VI) VII)	1,2,3 1,3	VI) VII)	1,2,3 1,3	VI) VII)
D	IV) V)	44	D-S	VI) VII)	1,2,3,4 1,2,3	VI) VII)	1,2,3 1,2,3&1,3	VI) VII)	1,2,3,4 1,2,3	VI) VII)	1,2,3,4 1,2,3	VI) VII)	1,2,3 1,2,3&1,3	VI) VII)	1,2,3 1,2,3&1,3	VI) VII)

FIG. 10

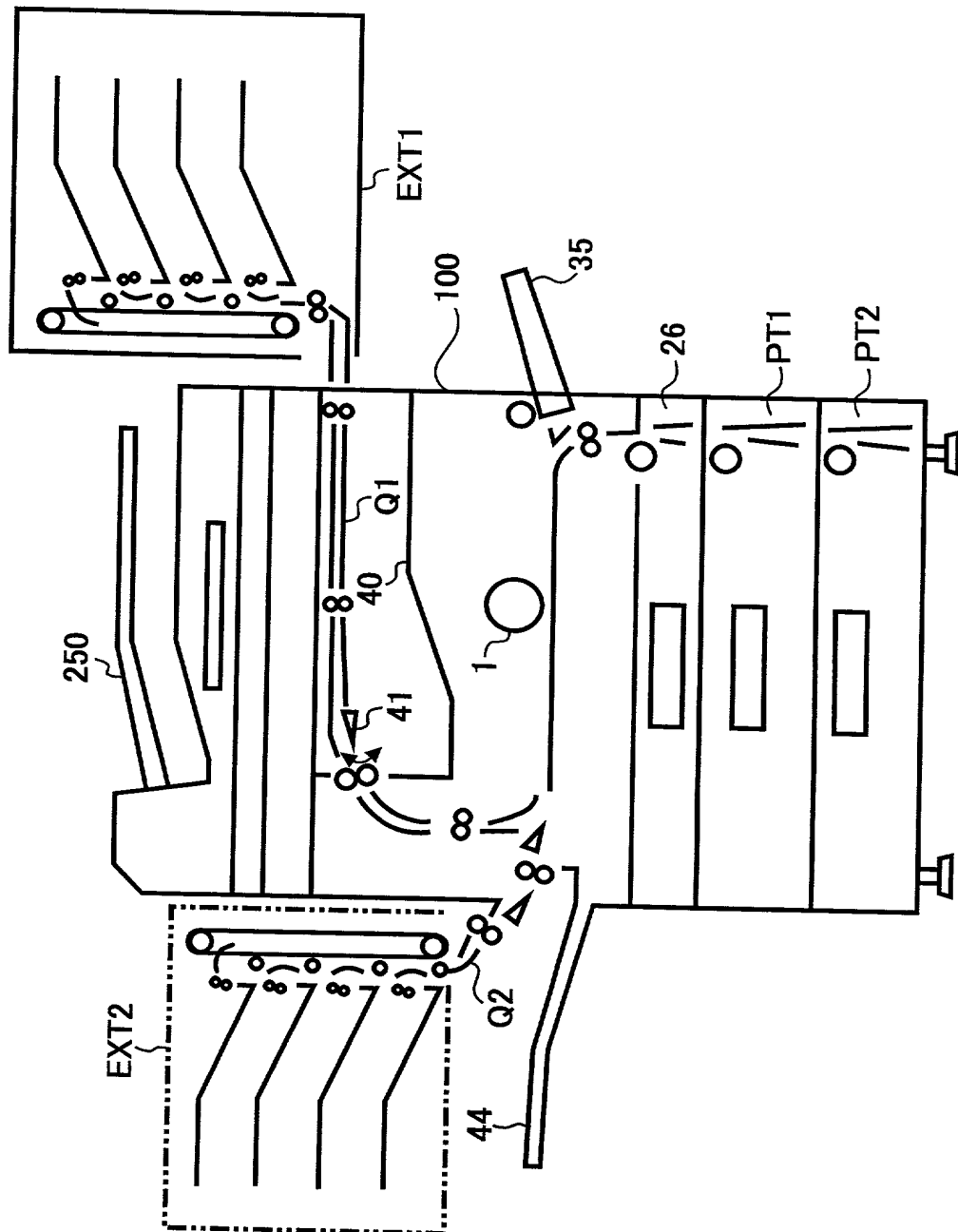


FIG. 11

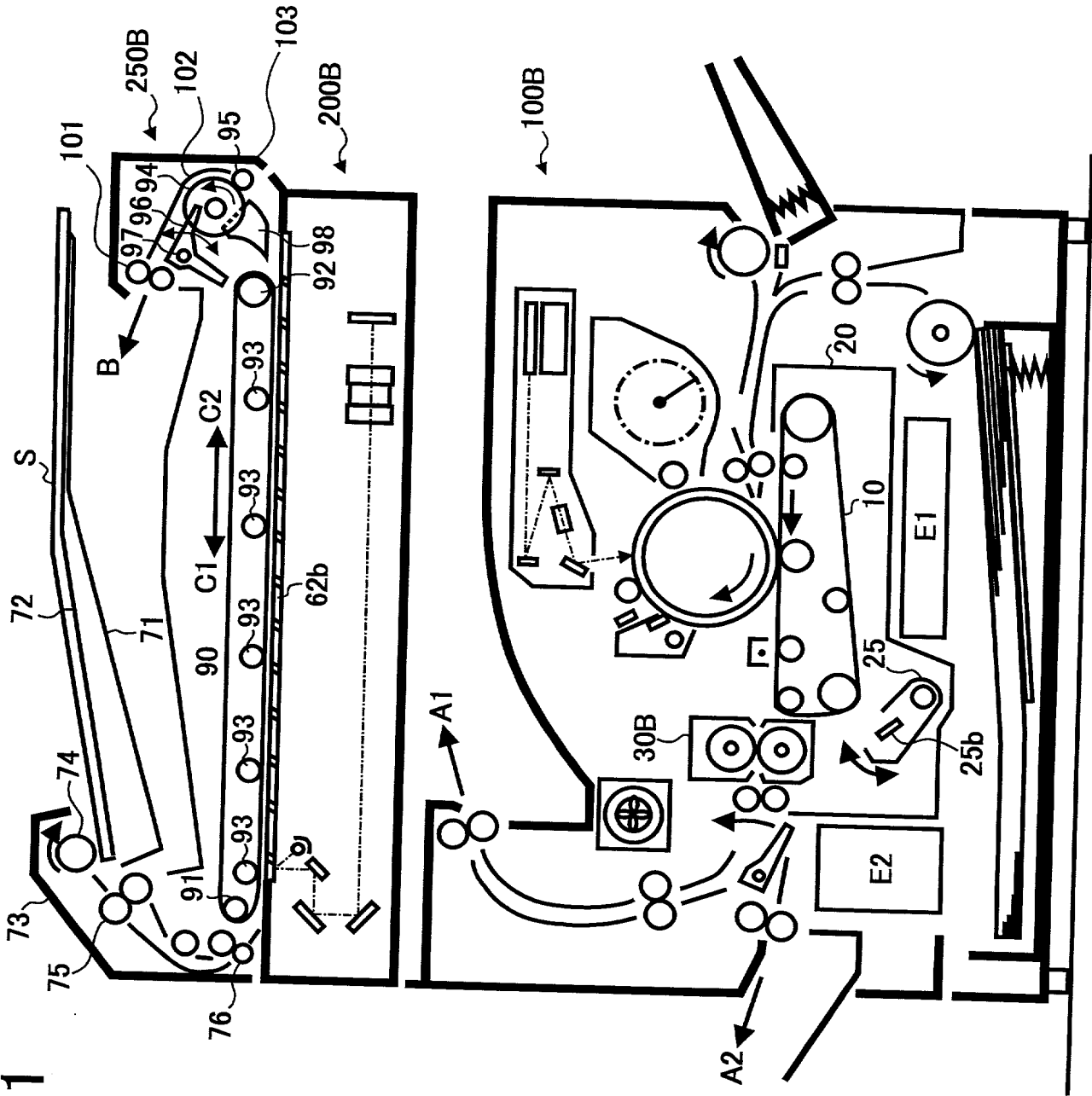


FIG. 12

